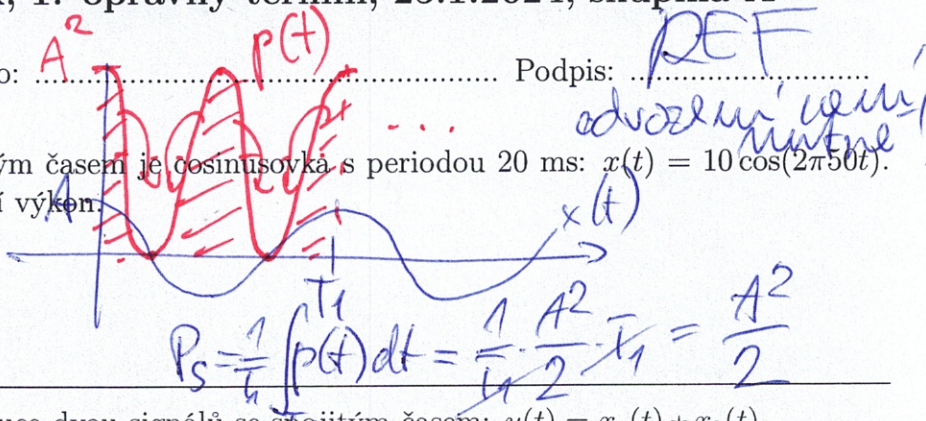


Semestrální zkouška ISS/ISSk, 1. opravný termín, 25.1.2024, skupina A

Login: Příjmení a jméno: Podpis:
 (prosím čitelně!)

Příklad 1 Periodický signál se spojitým časem je cosinusovka s periodou 20 ms: $x(t) = 10 \cos(2\pi 50t)$. Určete jakýmkoliv způsobem její střední výkon.

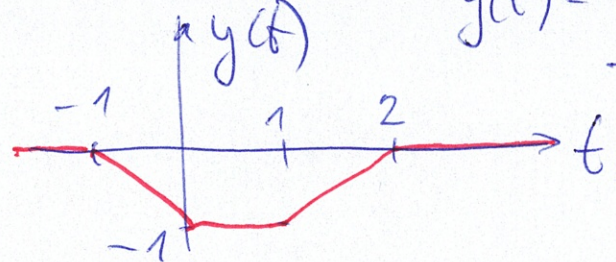
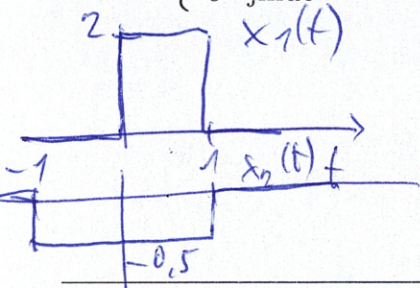
$$P_s = \frac{10^2}{2} = 50$$



Příklad 2 Nakreslete výsledek konvoluce dvou signálů se spojitým časem: $y(t) = x_1(t) * x_2(t)$.

$$x_1(t) = \begin{cases} 2 & \text{pro } 0 \leq t \leq 1 \\ 0 & \text{jinde} \end{cases}$$

$$\text{a } x_2(t) = \begin{cases} -0.5 & \text{pro } -1 \leq t \leq 1 \\ 0 & \text{jinde} \end{cases}$$



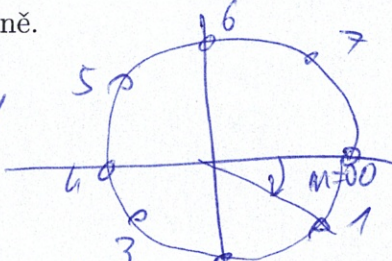
$$y(t) = \int_{-\infty}^{t_0} x_1(\tau) x_2(t-\tau) d\tau$$

Příklad 3 Napište kód v C, Python/Numpy nebo pseudokód pro výpočet koeficientu $X[1]$ Diskrétní Fourierovy transformace (DFT) diskrétního signálu v poli x o délce $N = 8$. Nefungují ale funkce \exp , \cos , ani \sin , takže hodnoty komplexní báze $e^{-j2\pi \frac{k}{N}n}$ musíte naplnit ručně.

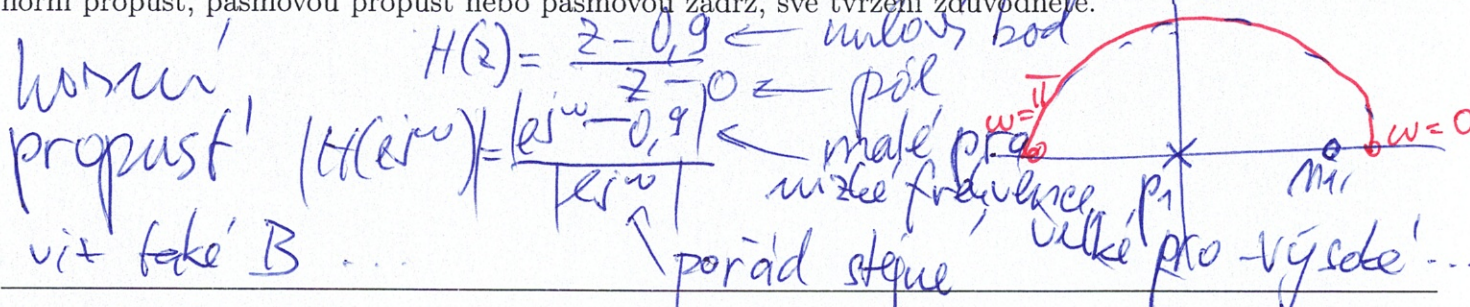
$$a = \sqrt{\frac{1}{N} \sum_{n=0}^{N-1} x_n^2}$$

$$\ell = [1, a - j \cdot a, -j, -a - j \cdot a, -1, -a + j \cdot a, j, a + j \cdot a]$$

$$X[1] = \text{np.dot}(x, \ell)$$



Příklad 4 Číslicový filtr má přenosovou funkci $H(z) = 1 - 0.9z^{-1}$. Určete, zda se jedná o dolní propust, horní propust, pásmovou propust nebo pásmovou zádrž, své tvrzení zdůvodňte.



Příklad 5 Napište kód v C, Python/Numpy nebo pseudokód implementující funkci freqz4(b, a, N) pro výpočet frekvenční charakteristiky číslicového filtru 4. řádu. Vstupem je vektor b s koeficienty $b_0 \dots b_4$, vektor a s koeficienty $1, a_1 \dots a_4$, a počet výsledných hodnot N . Výstupem nechť je vektor H hodnot $H(e^{j\omega})$ od normované kruhové frekvence 0 po π rad.

$$H(z) = \frac{b_0 + b_1 z^{-1} + \dots + b_4 z^{-4}}{1 + a_1 z^{-1} + \dots + a_4 z^{-4}} \quad z = e^{j\omega}$$

$$\text{om} = \text{np.linspace}(0, \text{np.pi}, N)$$

$$ejom = \text{np.exp}(j * \text{om})$$

$$\text{num} = b[0] + b[1] * \text{np.power}(ejom, -1) + \dots + b[4] * \text{np.power}(ejom, -4)$$

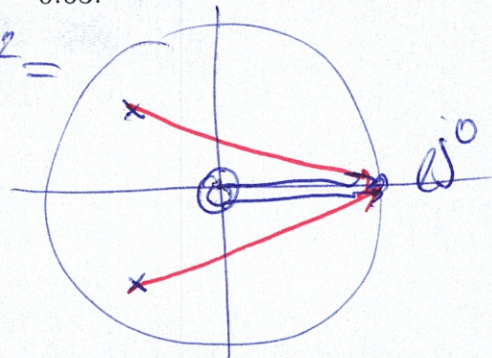
$$\text{denom} = 1 + a[1] * \text{np.power}(ejom, -1) + \dots + a[4] * \text{np.power}(ejom, -4)$$

$$H = \text{num} / \text{denom}$$

vítěz řešení B

Příklad 6 Číslicový filtr má dva nulové body: $n_1 = 0$ a $n_2 = 0$ a dva póly: $p_1 = -0.5 + 0.5j$ a $p_2 = -0.5 - 0.5j$. Určete modul jeho frekvenční charakteristiky na normované kruhové frekvenci $\omega_1 = 0$ rad. Pomůcka: $\frac{1}{\sqrt{0.5^2+0.5^2}} = 1.41$, $\frac{1}{\sqrt{0.5^2+1.5^2}} = 0.63$.

$$|H| = \frac{1}{\sqrt{0.5^2+1.5^2} \sqrt{0.5^2+1.5^2}} = 0.63^2 = 0.14$$



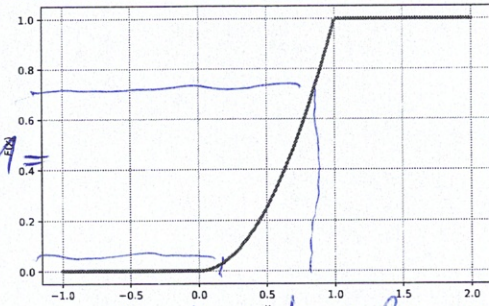
Příklad 7 První číslicový filtr s přenosovou funkcí $H_1(z)$ a druhý číslicový filtr s přenosovou funkcí $H_2(z)$ jsou zapojeny v sérii. Určete přenosovou funkci výsledného filtru.

násobení

$$H(z) = H_1(z) \cdot H_2(z)$$

Příklad 8 Na obrázku je distribuční funkce stacionárního náhodného signálu. Určete následující pravděpodobnost:

$$P(0.2 < \xi[n] < 0.8) = F(0.8) - F(0.2) = 0.7 - 0.1 = 0.6$$



stredy intervalů význam

Příklad 9 Na $\Omega = 4000$ realizacích náhodného procesu byla naměřena tabulka (sdružený histogram) hodnot mezi vzorky n_1 a n_2 . Vypočtěte hodnotu korelačního koeficientu $R[n_1, n_2]$.

$$R[n_1, n_2] = \int_{x_1} \int_{x_2} p(x_1, x_2, n_1, n_2) \cdot x_1 x_2 dx_1 dx_2$$

intervaly x_1 v n_1	intervaly x_2 v n_2			
	[-20, -10]	[-10, 0]	[0, 10]	[10, 20]
[10, 20]	0	0	0	1000
[0, 10]	0	1000	0	0
[-10, 0]	0	1000	1000	0
[-20, -10]	0	0	0	0

pravděpodobnost mezi vzorky a 2D-PDF: normalizace počtem realizací

$$R[n_1, n_2] = \frac{\sum_{i=1}^{100} \sum_{j=1}^{100} p(x_i, x_j, n_1, n_2)}{100 \cdot 100}$$

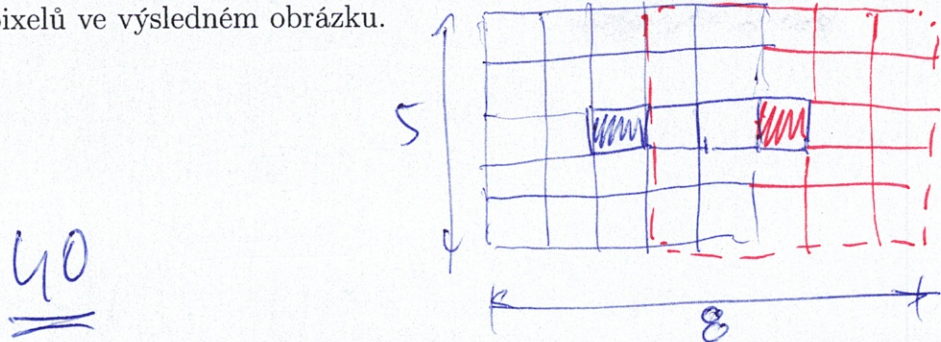
Příklad 10 V programu byla odhadnuta funkce hustoty rozdělení pravděpodobnosti $p(x)$. Její hodnoty jsou uloženy v poli px, které má N prvků. Hodnoty parametru x jsou uloženy v poli x, které má také N prvků. Hodnoty v x stoupají rovnomořně, vzdálenost mezi nimi je v proměnné Delta. Napište kód v C, Python/Numpy nebo pseudokód pro kontrolu, zda se jedná o korektní funkci hustoty rozdělení pravděpodobnosti.

$$\text{check} = \text{np.sum}(px) \# \text{Delta}$$

```
if check == 1.0
    print ("\"nice\"")
else
    print ("\"bad\"")
```

správně by mělo být přibližně 1, kvůli num. chybám ("isclose", atol.)

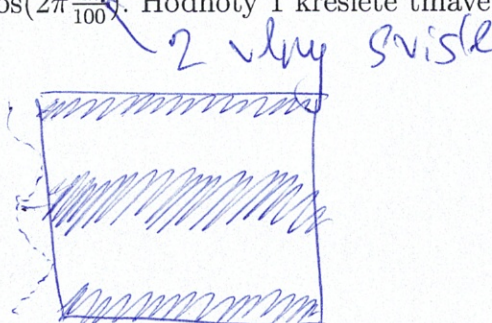
Příklad 11 Obrázek $x[k, l]$ o rozměrech $K = 100$ krát $L = 100$ pixelů obsahuje dva bílé pixely: $x[50, 50] = 1$, $x[50, 53] = 1$, ostatní jsou černé (nulové). Obrázek je filtrován 2D-filtrem (maskou, konvolučním jádrem) o rozměrech 5×5 , jehož všechny prvky mají hodnotu $\frac{1}{25}$. Určete počet nenulových pixelů ve výsledném obrázku.



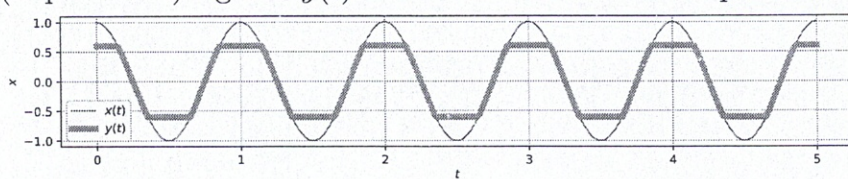
Příklad 12 Obrázek $x[k, l]$ má 2D-DFT $X[m, n]$. Napište, jak se změní hodnoty 2D-DFT, pokud v obrázku zvětšíme jas: $y[k, l] = x[k, l] + \text{jas}$. Předpokládejte, že žádná z hodnot $y[k, l]$ nebude "klipována" na maximální úroveň.

změní se pouze $X[0, 0]$, pro jas je lehké ověřit
další: $m \neq 0, m \neq 0$ je
 $\sum \sum \text{const. } e^{-j\omega_m k} \left(\frac{1}{M} + \frac{1}{N} \right)$ rovná nule

Příklad 13 Nakreslete obrázek o rozměrech $K = 100, L = 100$ daný $x[k, l] = \frac{1}{2} + \frac{1}{2} \cos(2\pi \frac{2k}{100})$. Hodnoty 1 kreslete tmavě, hodnota nula je bílý papír.



Příklad 14 Na prvním obrázku je slabou čárou periodický signál se spojitým časem $x(t)$ a na druhém jeho koeficienty Fourierovy řady (FŘ). Nakreslete do druhého obrázku moduly koeficientů FŘ omezeného (klipovaného) signálu $y(t)$ kresleného silnou čárou. Spíše než o hodnoty jde o polohy koeficientů.



signál je menší
hrany \rightarrow vyšší
harmonické
ss. složka stále nula

úplně přesné: sedl koeficienty budou asi nula (signál je symetrický)

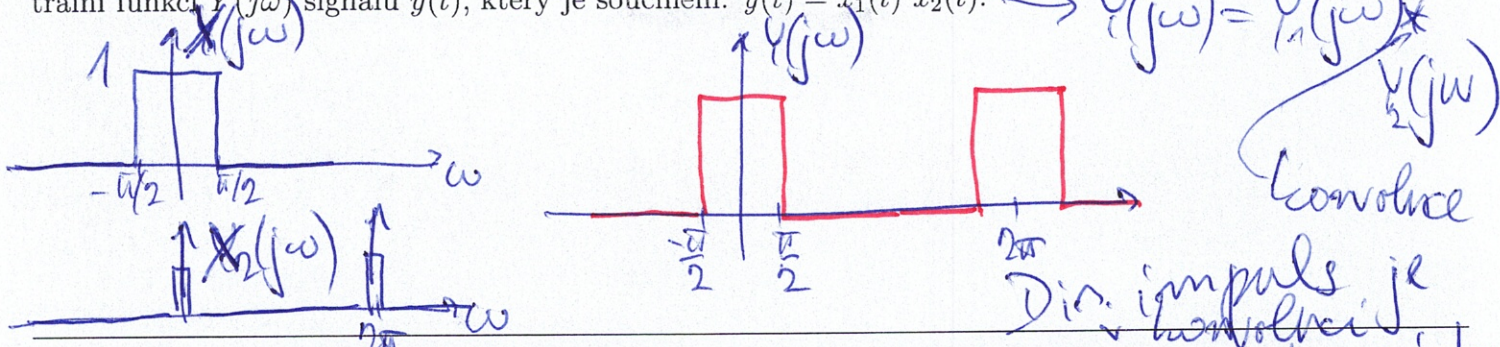
Příklad 15 Signál se spojitým časem $x(t)$ má spektrální funkci $X(j\omega)$. Napište vztah pro argument spektrální funkce posunutého signálu $y(t) = x(t + 0.1)$.

$$\arg Y(j\omega) = \arg X(j\omega) + 0.1\omega$$

$Y(j\omega) = X(j\omega) e^{j0.1\omega}$ posun argumentu

Příklad 16 Signál se spojitým časem $x_1(t)$ má spektrální funkci $X_1(j\omega) = \begin{cases} 1 & \text{pro } -\pi/2 \leq \omega \leq \pi/2 \\ 0 & \text{jinde} \end{cases}$.

Signál $x_2(t)$ má spektrální funkci $X_2(j\omega) = \delta(\omega) + \delta(\omega - 2\pi)$, kde $\delta(\cdot)$ je Diracův impuls. Nakreslete spektrální funkci $Y(j\omega)$ signálu $y(t)$, který je součinem: $y(t) = x_1(t) x_2(t)$. $\rightarrow Y(j\omega) = Y_1(j\omega) * Y_2(j\omega)$



Příklad 17 Přenosová funkce systému se spojitým časem je dána: $H(s) = \frac{s^2 + 100}{s^2}$.

Určete všechny nulové body a póly tohoto systému.

$$H(s) = \frac{(s - 10j)(s + 10j)}{(s - 0)(s - 0)}$$

nulové body: $m_{1/2} = \pm 10j$

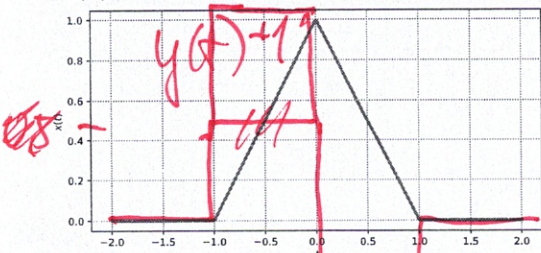
póly: $p_{1/2} = 0$

$$\bullet m_1 = 10$$

$$\ast p_{1/2}$$

$$\circ m_2 = -10j$$

Příklad 18 Vstupní signál $x(t)$ systému se spojitým časem je na obrázku. Systém má přenosovou funkci $H(s) = s$. Nakreslete, jak bude vypadat výstupní signál $y(t)$.



$$\frac{Y(s)}{X(s)} = s \quad Y(s) = s X(s)$$

obraz
1. derivace

zpětné Laplac. transf:

$$y(t) = \mathcal{L}^{-1} \left(\frac{dx(t)}{dt} \right)$$

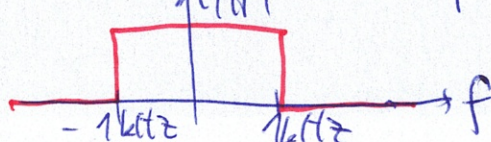
výstup je
dérivací
vstupu

Příklad 19 Napište podmínku pro vzorkovací frekvenci F_s pro ideální vzorkování signálu činěl u s maximální frekvencí $f_{max} = 15$ kHz.

$$F_s > 30 \text{ kHz}$$

Příklad 20 Signál na vzorkovací frekvenci $F_{s,low} = 2$ kHz je potřeba převzorkovat na vyšší vzorkovací frekvenci $F_{s,high} = 48$ kHz. Napište postup. Pokud použijete jakýkoliv filtr, uveďte jasně, jakou bude mít frekvenční charakteristiku a na které vzorkovací frekvenci bude pracovat.

- ① nadzorkováním - vždy jeden vzorek originálu a 23 ulovených
- ② filtrace "rekonstrukčním" filtrem - dolní průpust



Semestrální zkouška ISS/ISSk, 1. opravný termín, 25.1.2024, skupina B

Login: Příjmení a jméno: Podpis:
 (prosím čitelně!)

Příklad 1 Periodický signál se spojitým časem je cosinusovka s periodou 20 ms: $x(t) = 10 \cos(2\pi 50t)$. Určete jakýmkoliv způsobem její střední výkon.

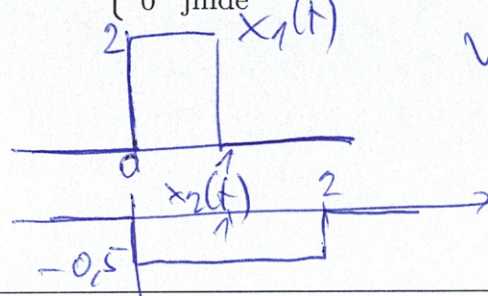
viz A

50

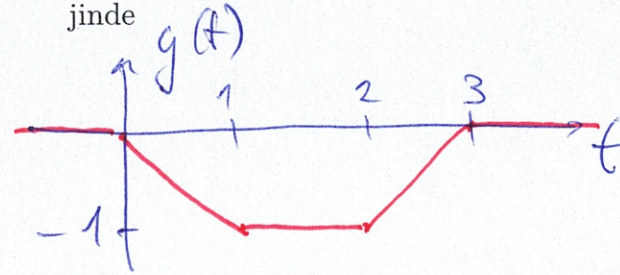
$P_s = \dots$

Příklad 2 Nakreslete výsledek konvoluce dvou signálů se spojitým časem: $y(t) = x_1(t) * x_2(t)$.

$$x_1(t) = \begin{cases} 2 & \text{pro } 0 \leq t \leq 1 \\ 0 & \text{jinde} \end{cases} \quad \text{a} \quad x_2(t) = \begin{cases} -0.5 & \text{pro } 0 \leq t \leq 2 \\ 0 & \text{jinde} \end{cases}$$



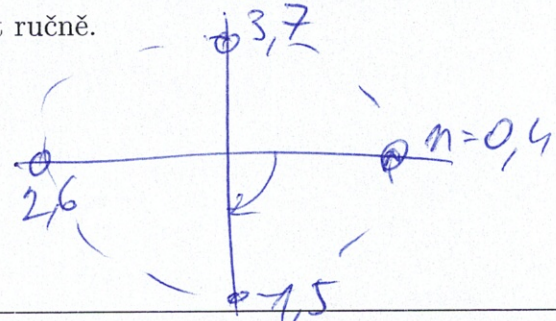
viz A



Příklad 3 Napište kód v C, Python/Numpy nebo pseudokód pro výpočet koeficientu $X[2]$ Diskrétní Fourierovy transformace (DFT) diskrétního signálu v poli x o délce $N = 8$. Nefungují ale funkce `exp`, `cos`, ani `sin`, takže hodnoty komplexní báze $e^{-j2\pi \frac{k}{N}n}$ musíte naplnit ručně.

$$e = [1, -j, -1+j, 1, -j, -1, +j]$$

$X[2] = \dots$ viz A



Příklad 4 Číslicový filtr má přenosovou funkci $H(z) = 1 - 0.9z^{-1}$. Určete, zda se jedná o dolní propust, horní propust, pásmovou propust nebo pásmovou zádrž, své tvrzení zdůvodněte.

stejnomořný signál ($\omega = 0$): $y[0] = 1 - 0.9 = 0.1$ malý

nejrychlejší signál ($\omega = \pi$): $y[\pi] = 1 - 0.9(-1) = 1.9$

nebo $-1 - 0.9(1) = -1.9$ malý

horní propust!

viz falešné A

odvad.

Příklad 5 Napište kód v C, Python/Numpy nebo pseudokód implementující funkci `freqz4(b, a, N)` pro výpočet frekvenční charakteristiky číslicového filtru 4. řádu. Vstupem je vektor b s koeficienty $b_0 \dots b_4$, vektor a s koeficienty 1, $a_1 \dots a_4$, a počet výsledných hodnot N. Výstupem nechť je vektor H hodnot $H(e^{j\omega})$ od normované kruhové frekvence 0 po π rad.

$num = upfft(np.zeropad(b, 2*N))$

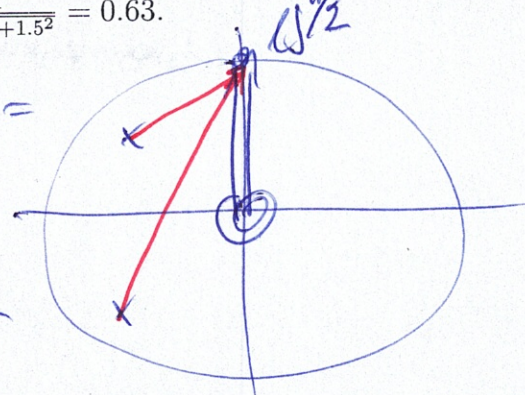
$denom = upfft(np.zeropad(a, 2*N))$

$H = num / denom$

$H = H[0:N]$

Příklad 6 Číslicový filtr má dva nulové body: $n_1 = 0$ a $n_2 = 0$ a dva póly: $p_1 = -0.5 + 0.5j$ a $p_2 = -0.5 - 0.5j$. Určete modul jeho frekvenční charakteristiky na normované kruhové frekvenci $\omega_1 = \frac{\pi}{2}$ rad. Pomůcka: $\frac{1}{\sqrt{0.5^2+0.5^2}} = 1.41$, $\frac{1}{\sqrt{0.5^2+1.5^2}} = 0.63$. B

$$|H| = \frac{1}{\sqrt{0.5^2+0.5^2}} \cdot \sqrt{0.5^2+1.5^2} = 1.41 \cdot 0.63 = 0.84$$



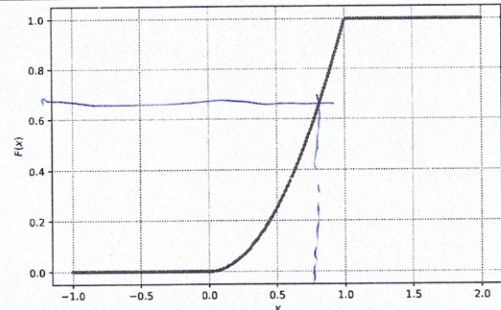
Příklad 7 První číslicový filtr s přenosovou funkcí $H_1(z)$ a druhý číslicový filtr s přenosovou funkcí $H_2(z)$ jsou zapojeny v sérii. Určete přenosovou funkci výsledného filtru.

viz A

$$H(z) = \dots$$

Příklad 8 Na obrázku je distribuční funkce stacionárního náhodného signálu. Určete následující pravděpodobnost:

$$P(\xi[n] < 0.8) = F(0.8) = 0.7$$



Příklad 9 Na $\Omega = 4000$ realizacích náhodného procesu byla naměřena tabulka (sdružený histogram) hodnot mezi vzorky n_1 a n_2 . Vypočtěte hodnotu korelačního koeficientu $R[n_1, n_2]$. ≈ 50

intervaly x_1 v n_1	intervaly x_2 v n_2			
	[-20, -10]	[-10, 0]	[0, 10]	[10, 20]
[10, 20]	0	0	0	1000
[0, 10]	0	1000	0	0
[-10, 0]	0	1000	1000	0
[-20, -10]	0	0	0	0

viz A

Příklad 10 V programu byla odhadnuta funkce hustoty rozdělení pravděpodobnosti $p(x)$. Její hodnoty jsou uloženy v poli px, které má N prvků. Hodnoty parametru x jsou uloženy v poli x, které má také N prvků. Hodnoty v x stoupají rovnoměrně, vzdálenost mezi nimi je v proměnné Delta. Napište kód v C, Python/Numpy nebo pseudokód pro kontrolu, zda se jedná o korektní funkci hustoty rozdělení pravděpodobnosti.

viz A

Příklad 11 Obrázek $x[k, l]$ o rozměrech $K = 100$ krát $L = 100$ pixelů obsahuje dva bílé pixely: B
 $x[50, 50] = 1$, $x[50, 52] = 1$, ostatní jsou černé (nulové). Obrázek je filtrován 2D-filtrem (maskou, konvolučním jádrem) o rozměrech 5×5 , jehož všechny prvky mají hodnotu $\frac{1}{25}$. Určete počet nenulových pixelů ve výsledném obrázku.

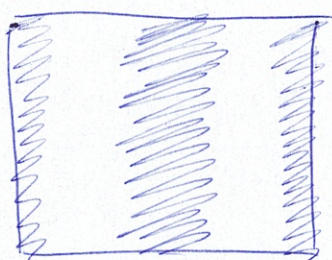
viz A

$$5 \cdot 7 = \underline{\underline{35}}$$

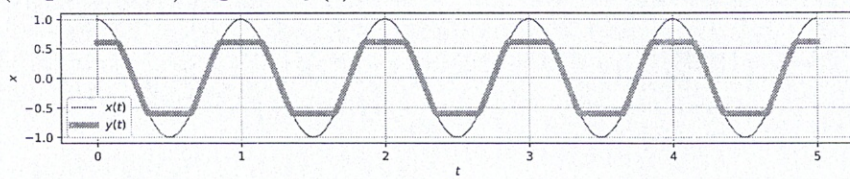
Příklad 12 Obrázek $x[k, l]$ má 2D-DFT $X[m, n]$. Napište, jak se změní hodnoty 2D-DFT, pokud v obrázku zvětšíme jas: $y[k, l] = x[k, l] + \text{jas}$. Předpokládejte, že žádná z hodnot $y[k, l]$ nebude "klipována" na maximální úroveň.

viz A

Příklad 13 Nakreslete obrázek o rozměrech $K = 100, L = 100$ daný
 $x[k, l] = \frac{1}{2} + \frac{1}{2} \cos(2\pi \frac{2l}{100})$. Hodnoty 1 kreslete tmavě, hodnota nula je bílý papír.



Příklad 14 Na prvním obrázku je slabou čárou periodický signál se spojitým časem $x(t)$ a na druhém jeho koeficienty Fourierovy řady (FŘ). Nakreslete do druhého obrázku moduly koeficientů FŘ omezeného (klipovaného) signálu $y(t)$ kresleného silnou čárou. Spíše než o hodnoty jde o polohy koeficientů.



viz A



Příklad 15 Signál se spojitým časem $x(t)$ má spektrální funkci $X(j\omega)$. Napište vztah pro argument spektrální funkce posunutého signálu $y(t) = x(t + 0.3)$.

viz A

$$\arg Y(j\omega) = \arg X(j\omega) + 0,3\omega$$

Příklad 16 Signál se spojitým časem $x_1(t)$ má spektrální funkci $X_1(j\omega) = \begin{cases} 1 & \text{pro } -\pi/2 \leq \omega \leq \pi/2 \\ 0 & \text{jinde} \end{cases}$

Signál $x_2(t)$ má spektrální funkci $X_2(j\omega) = \delta(\omega) + \delta(\omega - 2\pi)$, kde $\delta(\cdot)$ je Diracův impuls. Nakreslete spektrální funkci $Y(j\omega)$ signálu $y(t)$, který je součinem: $y(t) = x_1(t) x_2(t)$.

viz A

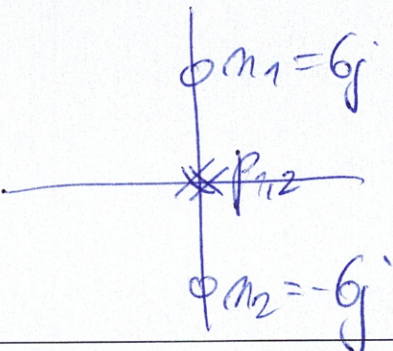
Příklad 17 Přenosová funkce systému se spojitým časem je dána: $H(s) = \frac{s^2 + 36}{s^2}$.

Určete všechny nulové body a póly tohoto systému.

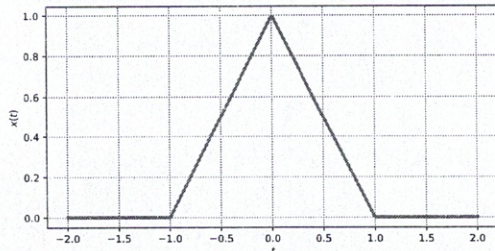
viz A

$$\text{nul. body: } n_{1,2} = \pm 6j$$

$$\text{póly: } p_{1,2} = 0$$



Příklad 18 Vstupní signál $x(t)$ systému se spojitým časem je na obrázku. Systém má přenosovou funkci $H(s) = s$. Nakreslete, jak bude vypadat výstupní signál $y(t)$.



viz A

Příklad 19 Napište podmínu pro vzorkovací frekvenci F_s pro ideální vzorkování signálu činelu s maximální frekvencí $f_{max} = 15$ kHz.

$$F_s > 30 \text{ kHz}$$

Příklad 20 Signál na vzorkovací frekvenci $F_{s,low} = 4$ kHz je potřeba převzorkovat na vyšší vzorkovací frekvenci $F_{s,high} = 48$ kHz. Napište postup. Pokud použijete jakýkoliv filtr, uveďte jasně, jakou bude mít frekvenční charakteristiku a na které vzorkovací frekvenci bude pracovat.

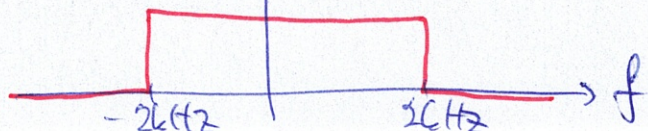
viz A

a M unloading

(1)

$$|H|$$

(2)



Semestrální zkouška ISS/ISSk, 1. opravný termín, 25.1.2024, skupina C

Login: Příjmení a jméno: Podpis:
 (prosím čitelně!)

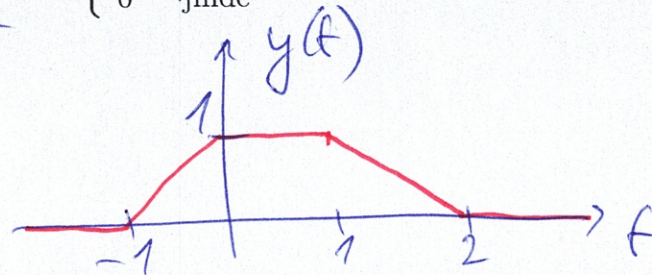
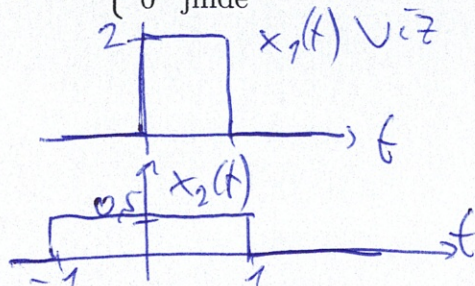
Příklad 1 Periodický signál se spojitým časem je cosinusovka s periodou 20 ms: $x(t) = 10 \cos(2\pi 50t)$. Určete jakýmkoliv způsobem její střední výkon.

Viz A

$P_s = \dots$

Příklad 2 Nakreslete výsledek konvoluce dvou signálů se spojitým časem: $y(t) = x_1(t) * x_2(t)$.

$$x_1(t) = \begin{cases} 2 & \text{pro } 0 \leq t \leq 1 \\ 0 & \text{jinde} \end{cases} \quad \text{a} \quad x_2(t) = \begin{cases} 0.5 & \text{pro } -1 \leq t \leq 1 \\ 0 & \text{jinde} \end{cases}$$



Příklad 3 Napište kód v C, Python/Numpy nebo pseudokód pro výpočet koeficientu $X[3]$ Diskrétní Fourierovy transformace (DFT) diskrétního signálu v poli x o délce $N = 8$. Nefungují ale funkce `exp`, `cos`, ani `sin`, takže hodnoty komplexní báze $e^{-j2\pi \frac{k}{N}n}$ musíte naplnit ručně.

$$\begin{aligned} a &= 1 / \text{np.} \cdot \text{cgif}(2) \\ l &= [0, -a - j * a + j, a - j * a, -1, a + j * a, j, -a + j * a, 1] \\ X3 &= \text{viz A.} \end{aligned}$$

Příklad 4 Číslicový filtr má přenosovou funkci $H(z) = 1 - 0.9z^{-1}$. Určete, zda se jedná o dolní propust, horní propust, pásmovou propust nebo pásmovou zádrž, své tvrzení zdůvodněte.

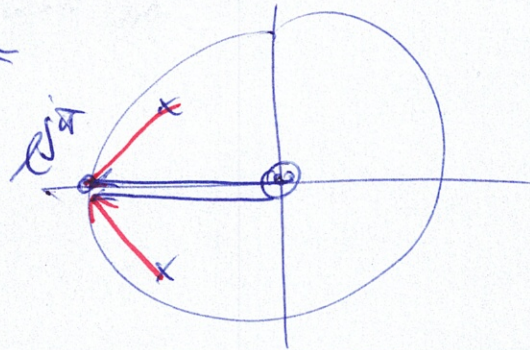
Viz A nebo B

Příklad 5 Napište kód v C, Python/Numpy nebo pseudokód implementující funkci `freqz4(b, a, N)` pro výpočet frekvenční charakteristiky číslicového filtru 4. řádu. Vstupem je vektor b s koeficienty $b_0 \dots b_4$, vektor a s koeficienty $1, a_1 \dots a_4$, a počet výsledných hodnot N . Výstupem nechť je vektor $H(e^{j\omega})$ od normované kruhové frekvence 0 po π rad.

Viz A nebo B

Příklad 6 Číslicový filtr má dva nulové body: $n_1 = 0$ a $n_2 = 0$ a dva póly: $p_1 = -0.5 + 0.5j$ a $p_2 = -0.5 - 0.5j$. Určete modul jeho frekvenční charakteristiky na normované kruhové frekvenci $\omega_1 = \pi$ rad. Pomůcka: $\frac{1}{\sqrt{0.5^2+0.5^2}} = 1.41$, $\frac{1}{\sqrt{0.5^2+1.5^2}} = 0.63$.

$$|H| = \frac{1 \cdot 1}{\sqrt{0.5^2+0.5^2} \sqrt{0.5^2+1.5^2}} = \\ = 1,41^2 = \underline{\underline{2}}$$



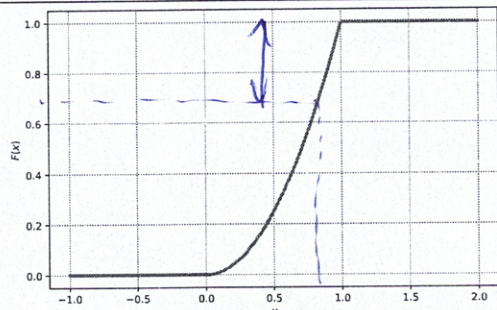
Příklad 7 První číslicový filtr s přenosovou funkcí $H_1(z)$ a druhý číslicový filtr s přenosovou funkcí $H_2(z)$ jsou zapojeny v sérii. Určete přenosovou funkci výsledného filtru.

viz A

$$H(z) = \dots$$

Příklad 8 Na obrázku je distribuční funkce stacionárního náhodného signálu. Určete následující pravděpodobnost:

$$P(\xi[n] > 0.8) = 1 - F(0.8) = \cancel{1 - 0.7} = \\ = \underline{\underline{0.3}}$$



Příklad 9 Na $\Omega = 4000$ realizacích náhodného procesu byla naměřena tabulka (sdružený histogram) hodnot mezi vzorky n_1 a n_2 . Vypočtěte hodnotu korelačního koeficientu $R[n_1, n_2]$. $\cancel{<50}$

intervaly x_1 v n_1	intervaly x_2 v n_2			
	[-20, -10]	[-10, 0]	[0, 10]	[10, 20]
[10, 20]	0	0	0	1000
[0, 10]	0	1000	0	0
[-10, 0]	0	1000	1000	0
[-20, -10]	0	0	0	0

viz A

Příklad 10 V programu byla odhadnuta funkce hustoty rozdělení pravděpodobnosti $p(x)$. Její hodnoty jsou uloženy v poli px, které má N prvků. Hodnoty parametru x jsou uloženy v poli x, které má také N prvků. Hodnoty v x stoupají rovnoměrně, vzdálenost mezi nimi je v proměnné Delta. Napište kód v C, Python/Numpy nebo pseudokód pro kontrolu, zda se jedná o korektní funkci hustoty rozdělení pravděpodobnosti.

viz A

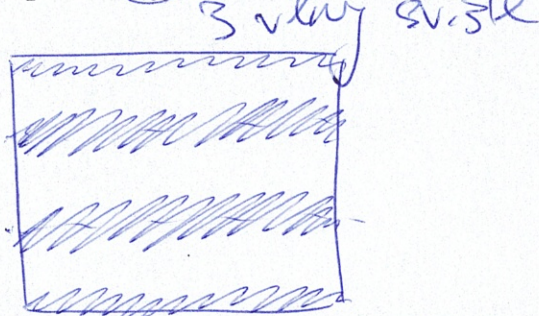
Příklad 11 Obrázek $x[k, l]$ o rozměrech $K = 100$ krát $L = 100$ pixelů obsahuje dva bílé pixely: $x[50, 50] = 1$, $x[51, 50] = 1$, ostatní jsou černé (nulové). Obrázek je filtrován 2D-filtrem (maskou, konvolučním jádrem) o rozměrech 5×5 , jehož všechny prvky mají hodnotu $\frac{1}{25}$. Určete počet nenulových pixelů ve výsledném obrázku.

$$\begin{array}{l} \text{viz } A \\ 5 \cdot 6 = \\ \underline{\underline{30}} \end{array}$$

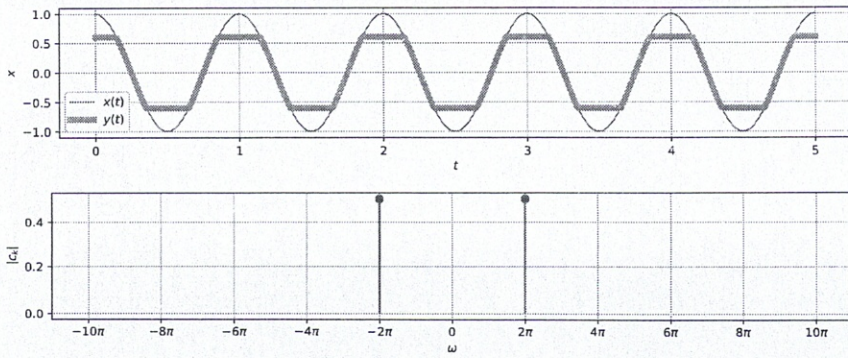
Příklad 12 Obrázek $x[k, l]$ má 2D-DFT $X[m, n]$. Napište, jak se změní hodnoty 2D-DFT, pokud v obrázku zvětšíme jas: $y[k, l] = x[k, l] + \text{jas}$. Předpokládejte, že žádná z hodnot $y[k, l]$ nebude "klipována" na maximální úroveň.

$$\begin{array}{l} \text{viz } A \end{array}$$

Příklad 13 Nakreslete obrázek o rozměrech $K = 100, L = 100$ daný $x[k, l] = \frac{1}{2} + \frac{1}{2} \cos(2\pi \frac{3k}{100})$. Hodnoty 1 kreslete tmavě, hodnota nula je bílý papír.



Příklad 14 Na prvním obrázku je slabou čárou periodický signál se spojitým časem $x(t)$ a na druhém jeho koeficienty Fourierovy řady (FŘ). Nakreslete do druhého obrázku moduly koeficientů FŘ omezeného (klipovaného) signálu $y(t)$ kresleného silnou čárou. Spíše než o hodnoty jde o polohy koeficientů.



$$\begin{array}{l} \text{viz } A \end{array}$$

Příklad 15 Signál se spojitým časem $x(t)$ má spektrální funkci $X(j\omega)$. Napište vztah pro argument spektrální funkce posunutého signálu $y(t) = x(t - 0.1)$.

$$\begin{array}{l} \text{viz } A \end{array}$$

$$\arg Y(j\omega) = \arg X(j\omega) - 0,1\omega$$

Příklad 16 Signál se spojitým časem $x_1(t)$ má spektrální funkci $X_1(j\omega) = \begin{cases} 1 & \text{pro } -\pi/2 \leq \omega \leq \pi/2 \\ 0 & \text{jinde} \end{cases}$

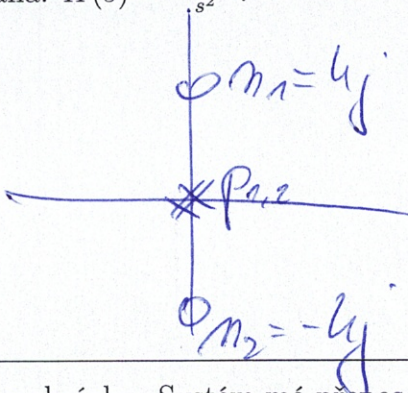
Signál $x_2(t)$ má spektrální funkci $X_2(j\omega) = \delta(\omega) + \delta(\omega - 2\pi)$, kde $\delta(\cdot)$ je Diracův impuls. Nakreslete spektrální funkci $Y(j\omega)$ signálu $y(t)$, který je součinem: $y(t) = x_1(t) x_2(t)$.

viz A

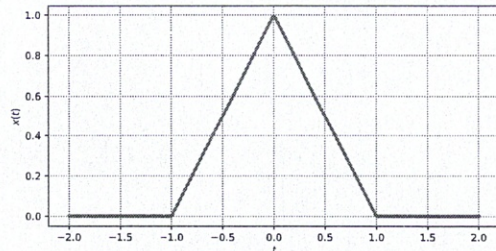
Příklad 17 Přenosová funkce systému se spojitým časem je dána: $H(s) = \frac{s^2 + 16}{s^2}$.

Určete všechny nulové body a póly tohoto systému.

viz A
nul. body: $m_{1,2} = \pm 4j$
póly: $p_{1,2} = 0$



Příklad 18 Vstupní signál $x(t)$ systému se spojitým časem je na obrázku. Systém má přenosovou funkci $H(s) = s$. Nakreslete, jak bude vypadat výstupní signál $y(t)$.

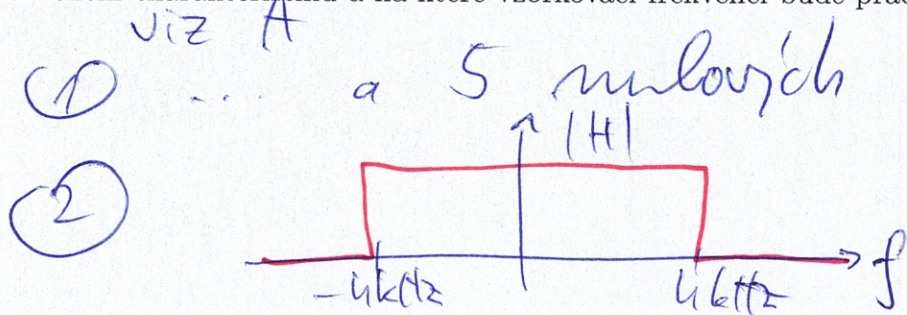


viz A

Příklad 19 Napište podmínku pro vzorkovací frekvenci F_s pro ideální vzorkování signálu zemětřesení s maximální frekvencí $f_{max} = 10$ Hz.

$$F_s > 20 \text{ Hz}$$

Příklad 20 Signál na vzorkovací frekvenci $F_{s,low} = 8$ kHz je potřeba převzorkovat na vyšší vzorkovací frekvenci $F_{s,high} = 48$ kHz. Napište postup. Pokud použijete jakýkoliv filtr, uveďte jasně, jakou bude mít frekvenční charakteristiku a na které vzorkovací frekvenci bude pracovat.



Semestrální zkouška ISS/ISSk, 1. opravný termín, 25.1.2024, skupina D

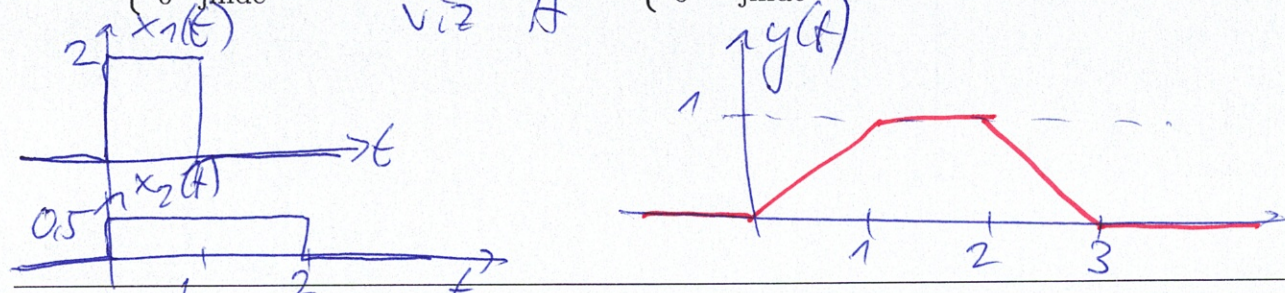
Login: Příjmení a jméno: Podpis:
 (prosím čitelně!)

Příklad 1 Periodický signál se spojitým časem je cosinusovka s periodou 20 ms: $x(t) = 10 \cos(2\pi 50t)$. Určete jakýmkoliv způsobem její střední výkon.

$$P_s = \dots \text{ viz } A$$

Příklad 2 Nakreslete výsledek konvoluce dvou signálů se spojitým časem: $y(t) = x_1(t) * x_2(t)$.

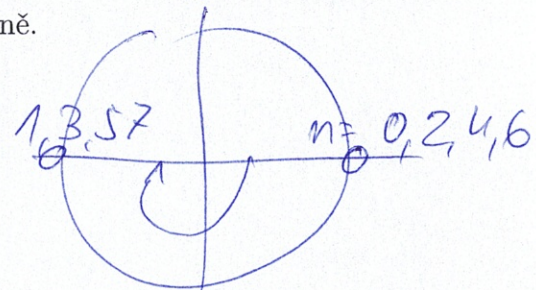
$$x_1(t) = \begin{cases} 2 & \text{pro } 0 \leq t \leq 1 \\ 0 & \text{jinde} \end{cases} \quad \text{a} \quad x_2(t) = \begin{cases} 0.5 & \text{pro } 0 \leq t \leq 2 \\ 0 & \text{jinde} \end{cases}$$



Příklad 3 Napište kód v C, Python/Numpy nebo pseudokód pro výpočet koeficientu $X[4]$ Diskrétní Fourierovy transformace (DFT) diskrétního signálu v poli x o délce $N = 8$. Nefungují ale funkce `exp`, `cos`, ani `sin`, takže hodnoty komplexní báze $e^{-j2\pi \frac{k}{N}n}$ musíte naplnit ručně.

$$l = [1, -1, 1, -1, 1, -1, 1, -1]$$

$$X[4] = \text{viz } A$$



Příklad 4 Číslicový filtr má přenosovou funkci $H(z) = 1 - 0.9z^{-1}$. Určete, zda se jedná o dolní propust, horní propust, pásmovou propust nebo pásmovou zádrž, své tvrzení zdůvodněte.

viz A nebo B

Příklad 5 Napište kód v C, Python/Numpy nebo pseudokód implementující funkci `freqz4(b, a, N)` pro výpočet frekvenční charakteristiky číslicového filtru 4. řádu. Vstupem je vektor b s koeficienty $b_0 \dots b_4$, vektor a s koeficienty $1, a_1 \dots a_4$, a počet výsledných hodnot N . Výstupem nechť je vektor N hodnot $H(e^{j\omega})$ od normované kruhové frekvence 0 po π rad.

viz A nebo B

Příklad 6 Číslicový filtr má dva nulové body: $n_1 = 0$ a $n_2 = 0$ a dva póly: $p_1 = -0.5 + 0.5j$ a $p_2 = -0.5 - 0.5j$. Určete modul jeho frekvenční charakteristiky na normované kruhové frekvenci $\omega_1 = \pi$ rad. Pomůcka: $\frac{1}{\sqrt{0.5^2+0.5^2}} = 1.41$, $\frac{1}{\sqrt{0.5^2+1.5^2}} = 0.63$.

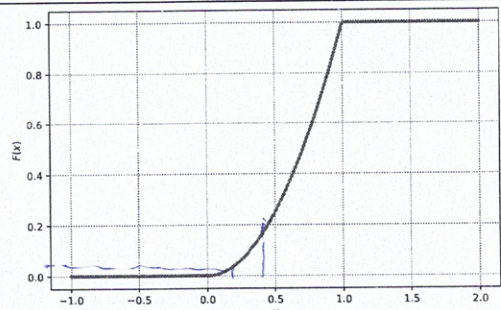
viz C

Příklad 7 První číslicový filtr s přenosovou funkcí $H_1(z)$ a druhý číslicový filtr s přenosovou funkcí $H_2(z)$ jsou zapojeny v sérii. Určete přenosovou funkci výsledného filtru.

$H(z) = \dots$

Příklad 8 Na obrázku je distribuční funkce stacionárního náhodného signálu. Určete následující pravděpodobnost:

$$P(0.2 < \xi[n] < 0.4) = F(0.4) - F(0.2) = \\ 0.2 - 0.05 = \underline{\underline{0.15}}$$



Příklad 9 Na $\Omega = 4000$ realizacích náhodného procesu byla naměřena tabulka (sdružený histogram) hodnot mezi vzorky n_1 a n_2 . Vypočtěte hodnotu korelačního koeficientu $R[n_1, n_2]$.

intervaly x_1 v n_1	intervaly x_2 v n_2			
	[-20, -10]	[-10, 0]	[0, 10]	[10, 20]
[10, 20]	0	0	0	1000
[0, 10]	0	1000	0	0
[-10, 0]	0	1000	1000	0
[-20, -10]	0	0	0	0

viz A

Příklad 10 V programu byla odhadnuta funkce hustoty rozdělení pravděpodobnosti $p(x)$. Její hodnoty jsou uloženy v poli px , které má N prvků. Hodnoty parametru x jsou uloženy v poli x , které má také N prvků. Hodnoty v x stoupají rovnoměrně, vzdálenost mezi nimi je v proměnné $Delta$. Napište kód v C, Python/Numpy nebo pseudokód pro kontrolu, zda se jedná o korektní funkci hustoty rozdělení pravděpodobnosti.

viz A

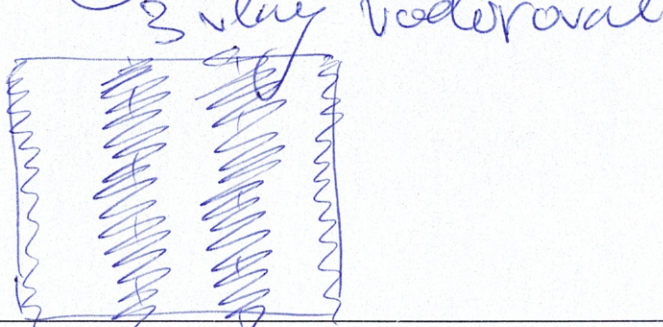
Příklad 11 Obrázek $x[k, l]$ o rozměrech $K = 100$ krát $L = 100$ pixelů obsahuje dva bílé pixely: $x[50, 50] = 1$, $x[50, 51] = 1$, ostatní jsou černé (nulové). Obrázek je filtrován 2D-filtrem (maskou, konvolučním jádrem) o rozměrech 5×5 , jehož všechny prvky mají hodnotu $\frac{1}{25}$. Určete počet nenulových pixelů ve výsledném obrázku.

$$\begin{array}{c} \text{viz } A \\ 5 \cdot 6 = 30 \end{array}$$

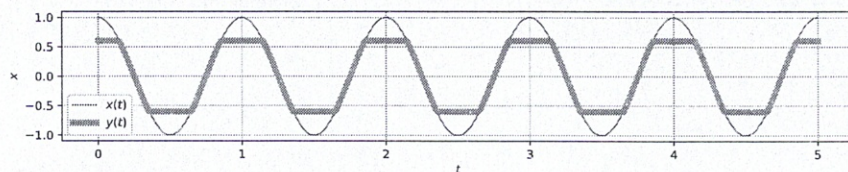
Příklad 12 Obrázek $x[k, l]$ má 2D-DFT $X[m, n]$. Napište, jak se změní hodnoty 2D-DFT, pokud v obrázku zvětšíme jas: $y[k, l] = x[k, l] + \text{jas}$. Předpokládejte, že žádná z hodnot $y[k, l]$ nebude "klipována" na maximální úroveň.

$$\begin{array}{c} \text{viz } A \end{array}$$

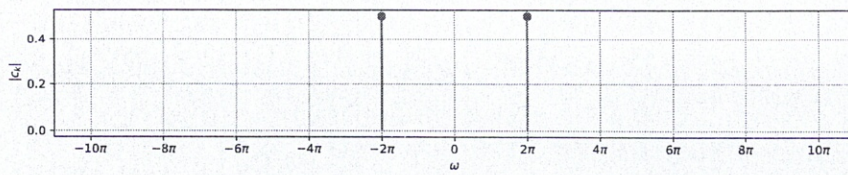
Příklad 13 Nakreslete obrázek o rozměrech $K = 100, L = 100$ dany $x[k, l] = \frac{1}{2} + \frac{1}{2} \cos(2\pi \frac{3l}{100})$. Hodnoty 1 kreslete tmavě, hodnota nula je bílý papír.



Příklad 14 Na prvním obrázku je slabou čárou periodický signál se spojitým časem $x(t)$ a na druhém jeho koeficienty Fourierovy řady (FŘ). Nakreslete do druhého obrázku moduly koeficientů FŘ omezeného (klipovaného) signálu $y(t)$ kresleného silnou čárou. Spíše než o hodnoty jde o polohy koeficientů.



$$\begin{array}{c} \text{viz } A \end{array}$$



Příklad 15 Signál se spojitým časem $x(t)$ má spektrální funkci $X(j\omega)$. Napište vztah pro argument spektrální funkce posunutého signálu $y(t) = x(t - 0.3)$.

$$\begin{array}{c} \text{viz } A \end{array}$$

$$\arg Y(j\omega) = \arg X(j\omega) - 0,3\omega$$

Příklad 16 Signál se spojitým časem $x_1(t)$ má spektrální funkci $X_1(j\omega) = \begin{cases} 1 & \text{pro } -\pi/2 \leq \omega \leq \pi/2 \\ 0 & \text{jinde} \end{cases}$

Signál $x_2(t)$ má spektrální funkci $X_2(j\omega) = \delta(\omega) + \delta(\omega - 2\pi)$, kde $\delta(\cdot)$ je Diracův impuls. Nakreslete spektrální funkci $Y(j\omega)$ signálu $y(t)$, který je součinem: $y(t) = x_1(t) x_2(t)$.

viz A

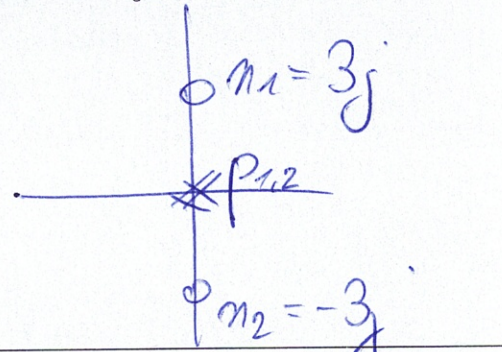
Příklad 17 Přenosová funkce systému se spojitým časem je dána: $H(s) = \frac{s^2+9}{s^2}$.

Určete všechny nulové body a póly tohoto systému.

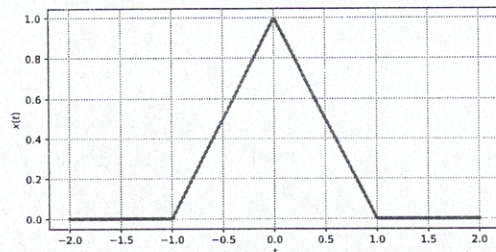
viz A

nul. body: $n_{1,2} = \pm 3j$

póly: $p_{1,2} = 0$



Příklad 18 Vstupní signál $x(t)$ systému se spojitým časem je na obrázku. Systém má přenosovou funkci $H(s) = s$. Nakreslete, jak bude vypadat výstupní signál $y(t)$.



viz A

Příklad 19 Napište podmínku pro vzorkovací frekvenci F_s pro ideální vzorkování signálu zemětřesení s maximální frekvencí $f_{max} = 10$ Hz.

$$F_s > 20 \text{ Hz}$$

Příklad 20 Signál na vzorkovací frekvenci $F_{s,low} = 16$ kHz je potřeba převzorkovat na vyšší vzorkovací frekvenci $F_{s,high} = 48$ kHz. Napište postup. Pokud použijete jakýkoliv filtr, uveďte jasně, jakou bude mít frekvenční charakteristiku a na které vzorkovací frekvenci bude pracovat.

